

Starkniederschlagshöhen und -spenden gemäß KOSTRA-DWD-2020

Rasterfeld 166129

(Zeile 166, Spalte 129)

Regenspende und Bemessungsniederschlagswerte in Abhängigkeit von Wiederkehrzeit T und Dauerstufe D

| Dauerstufe D | | Wiederkehrzeit T | | | | | | | | | | | | | | | | | |
|--------------|-----|------------------|------------|------|------------|------|------------|------|------------|-------|------------|-------|------------|-------|------------|-------|------------|-------|------------|
| | | 1 a | | 2 a | | 3 a | | 5 a | | 10 a | | 20 a | | 30 a | | 50 a | | 100 a | |
| min | Std | mm | l / (s ha) | mm | l / (s ha) | mm | l / (s ha) | mm | l / (s ha) | mm | l / (s ha) | mm | l / (s ha) | mm | l / (s ha) | mm | l / (s ha) | mm | l / (s ha) |
| 5 | | 6,9 | 230,0 | 8,6 | 286,7 | 9,6 | 320,0 | 10,9 | 363,3 | 12,8 | 426,7 | 14,8 | 493,3 | 16,1 | 536,7 | 17,7 | 590,0 | 20,2 | 673,3 |
| 10 | | 9,0 | 150,0 | 11,1 | 185,0 | 12,4 | 206,7 | 14,1 | 235,0 | 16,6 | 276,7 | 19,2 | 320,0 | 20,8 | 346,7 | 23,0 | 383,3 | 26,1 | 435,0 |
| 15 | | 10,3 | 114,4 | 12,7 | 141,1 | 14,2 | 157,8 | 16,2 | 180,0 | 19,0 | 211,1 | 21,9 | 243,3 | 23,8 | 264,4 | 26,3 | 292,2 | 29,9 | 332,2 |
| 20 | | 11,3 | 94,2 | 13,9 | 115,8 | 15,6 | 130,0 | 17,7 | 147,5 | 20,8 | 173,3 | 24,0 | 200,0 | 26,1 | 217,5 | 28,8 | 240,0 | 32,8 | 273,3 |
| 30 | | 12,8 | 71,1 | 15,7 | 87,2 | 17,6 | 97,8 | 20,0 | 111,1 | 23,5 | 130,6 | 27,1 | 150,6 | 29,5 | 163,9 | 32,6 | 181,1 | 37,0 | 205,6 |
| 45 | | 14,4 | 53,3 | 17,7 | 65,6 | 19,8 | 73,3 | 22,5 | 83,3 | 26,5 | 98,1 | 30,5 | 113,0 | 33,2 | 123,0 | 36,7 | 135,9 | 41,7 | 154,4 |
| 60 | 1 | 15,6 | 43,3 | 19,2 | 53,3 | 21,5 | 59,7 | 24,5 | 68,1 | 28,7 | 79,7 | 33,1 | 91,9 | 36,0 | 100,0 | 39,8 | 110,6 | 45,2 | 125,6 |
| 90 | 1,5 | 17,5 | 32,4 | 21,5 | 39,8 | 24,1 | 44,6 | 27,4 | 50,7 | 32,2 | 59,6 | 37,1 | 68,7 | 40,4 | 74,8 | 44,6 | 82,6 | 50,7 | 93,9 |
| 120 | 2 | 18,9 | 26,3 | 23,3 | 32,4 | 26,1 | 36,3 | 29,7 | 41,3 | 34,8 | 48,3 | 40,2 | 55,8 | 43,7 | 60,7 | 48,3 | 67,1 | 54,9 | 76,3 |
| 180 | 3 | 21,1 | 19,5 | 26,1 | 24,2 | 29,1 | 26,9 | 33,1 | 30,6 | 38,9 | 36,0 | 44,9 | 41,6 | 48,8 | 45,2 | 54,0 | 50,0 | 61,3 | 56,8 |
| 240 | 4 | 22,8 | 15,8 | 28,2 | 19,6 | 31,5 | 21,9 | 35,8 | 24,9 | 42,1 | 29,2 | 48,6 | 33,8 | 52,8 | 36,7 | 58,3 | 40,5 | 66,3 | 46,0 |
| 360 | 6 | 25,5 | 11,8 | 31,5 | 14,6 | 35,1 | 16,3 | 40,0 | 18,5 | 47,0 | 21,8 | 54,2 | 25,1 | 58,9 | 27,3 | 65,1 | 30,1 | 74,0 | 34,3 |
| 540 | 9 | 28,4 | 8,8 | 35,1 | 10,8 | 39,2 | 12,1 | 44,6 | 13,8 | 52,4 | 16,2 | 60,5 | 18,7 | 65,7 | 20,3 | 72,6 | 22,4 | 82,5 | 25,5 |
| 720 | 12 | 30,7 | 7,1 | 37,9 | 8,8 | 42,4 | 9,8 | 48,2 | 11,2 | 56,7 | 13,1 | 65,3 | 15,1 | 71,0 | 16,4 | 78,5 | 18,2 | 89,2 | 20,6 |
| 1080 | 18 | 34,3 | 5,3 | 42,3 | 6,5 | 47,2 | 7,3 | 53,8 | 8,3 | 63,2 | 9,8 | 72,9 | 11,3 | 79,2 | 12,2 | 87,5 | 13,5 | 99,5 | 15,4 |
| 1440 | 24 | 37,0 | 4,3 | 45,7 | 5,3 | 51,0 | 5,9 | 58,1 | 6,7 | 68,2 | 7,9 | 78,7 | 9,1 | 85,6 | 9,9 | 94,6 | 10,9 | 107,4 | 12,4 |
| 2880 | 48 | 44,6 | 2,6 | 55,0 | 3,2 | 61,5 | 3,6 | 70,0 | 4,1 | 82,2 | 4,8 | 94,8 | 5,5 | 103,1 | 6,0 | 113,9 | 6,6 | 129,4 | 7,5 |
| 4320 | 72 | 49,7 | 1,9 | 61,3 | 2,4 | 68,5 | 2,6 | 78,0 | 3,0 | 91,6 | 3,5 | 105,7 | 4,1 | 114,9 | 4,4 | 127,0 | 4,9 | 144,3 | 5,6 |
| 5760 | 96 | 53,7 | 1,6 | 66,2 | 1,9 | 74,0 | 2,1 | 84,2 | 2,4 | 99,0 | 2,9 | 114,2 | 3,3 | 124,1 | 3,6 | 137,1 | 4,0 | 155,8 | 4,5 |
| 7200 | 120 | 57,0 | 1,3 | 70,3 | 1,6 | 78,6 | 1,8 | 89,4 | 2,1 | 105,1 | 2,4 | 121,2 | 2,8 | 131,8 | 3,1 | 145,6 | 3,4 | 165,4 | 3,8 |
| 8640 | 144 | 59,8 | 1,2 | 73,8 | 1,4 | 82,5 | 1,6 | 93,9 | 1,8 | 110,3 | 2,1 | 127,3 | 2,5 | 138,4 | 2,7 | 152,9 | 2,9 | 173,7 | 3,4 |
| 10080 | 168 | 62,4 | 1,0 | 77,0 | 1,3 | 86,0 | 1,4 | 97,9 | 1,6 | 115,0 | 1,9 | 132,6 | 2,2 | 144,2 | 2,4 | 159,3 | 2,6 | 181,0 | 3,0 |

Starkniederschlagshöhen und -spenden gemäß KOSTRA-DWD-2020

Rasterfeld 166129

(Zeile 166, Spalte 129)

Örtliche Unsicherheiten in Abhängigkeit von Wiederkehrzeit T und Dauerstufe D

| Dauerstufe D | | Wiederkehrzeit T | | | | | | | | |
|--------------|-----|------------------|-----|-----|-----|------|------|------|------|-------|
| | | 1 a | 2 a | 3 a | 5 a | 10 a | 20 a | 30 a | 50 a | 100 a |
| min | Std | ± % | ± % | ± % | ± % | ± % | ± % | ± % | ± % | ± % |
| 5 | | 12 | 13 | 14 | 15 | 16 | 16 | 16 | 17 | 17 |
| 10 | | 15 | 17 | 18 | 19 | 20 | 20 | 21 | 21 | 22 |
| 15 | | 17 | 19 | 20 | 21 | 22 | 22 | 23 | 23 | 24 |
| 20 | | 18 | 20 | 21 | 22 | 23 | 24 | 24 | 25 | 25 |
| 30 | | 19 | 20 | 21 | 22 | 24 | 24 | 25 | 25 | 26 |
| 45 | | 19 | 21 | 22 | 23 | 24 | 25 | 25 | 25 | 26 |
| 60 | 1 | 18 | 20 | 21 | 22 | 23 | 24 | 25 | 25 | 26 |
| 90 | 1,5 | 18 | 20 | 20 | 21 | 23 | 23 | 24 | 24 | 25 |
| 120 | 2 | 17 | 19 | 20 | 21 | 22 | 23 | 23 | 24 | 24 |
| 180 | 3 | 16 | 18 | 19 | 20 | 21 | 22 | 22 | 23 | 23 |
| 240 | 4 | 15 | 17 | 18 | 19 | 20 | 21 | 21 | 22 | 22 |
| 360 | 6 | 14 | 16 | 17 | 17 | 19 | 19 | 20 | 20 | 21 |
| 540 | 9 | 13 | 15 | 15 | 16 | 17 | 18 | 19 | 19 | 20 |
| 720 | 12 | 13 | 14 | 15 | 16 | 17 | 17 | 18 | 18 | 19 |
| 1080 | 18 | 12 | 13 | 14 | 15 | 16 | 16 | 17 | 17 | 18 |
| 1440 | 24 | 12 | 13 | 14 | 14 | 15 | 16 | 16 | 17 | 17 |
| 2880 | 48 | 13 | 13 | 13 | 14 | 14 | 15 | 15 | 15 | 16 |
| 4320 | 72 | 14 | 13 | 14 | 14 | 14 | 15 | 15 | 15 | 15 |
| 5760 | 96 | 14 | 14 | 14 | 14 | 14 | 15 | 15 | 15 | 15 |
| 7200 | 120 | 15 | 15 | 14 | 15 | 15 | 15 | 15 | 15 | 15 |
| 8640 | 144 | 16 | 15 | 15 | 15 | 15 | 15 | 15 | 15 | 16 |
| 10080 | 168 | 16 | 16 | 15 | 15 | 15 | 15 | 16 | 16 | 16 |

Parameter für abweichende T und D

Lokationsparameter ξ (Xi)

15,82111352

Skalenparameter α (Alpha)

5,14966963

Formparameter κ (Kappa)

-0,1

1. Koutsoyiannis-Parameter θ (Theta)

0,02002897

2. Koutsoyiannis-Parameter η (Eta)

0,7321936

Parameter für dauerstufenübergreifende Extremwertschätzung nach KOUTSOYIANNIS et al. 1998.

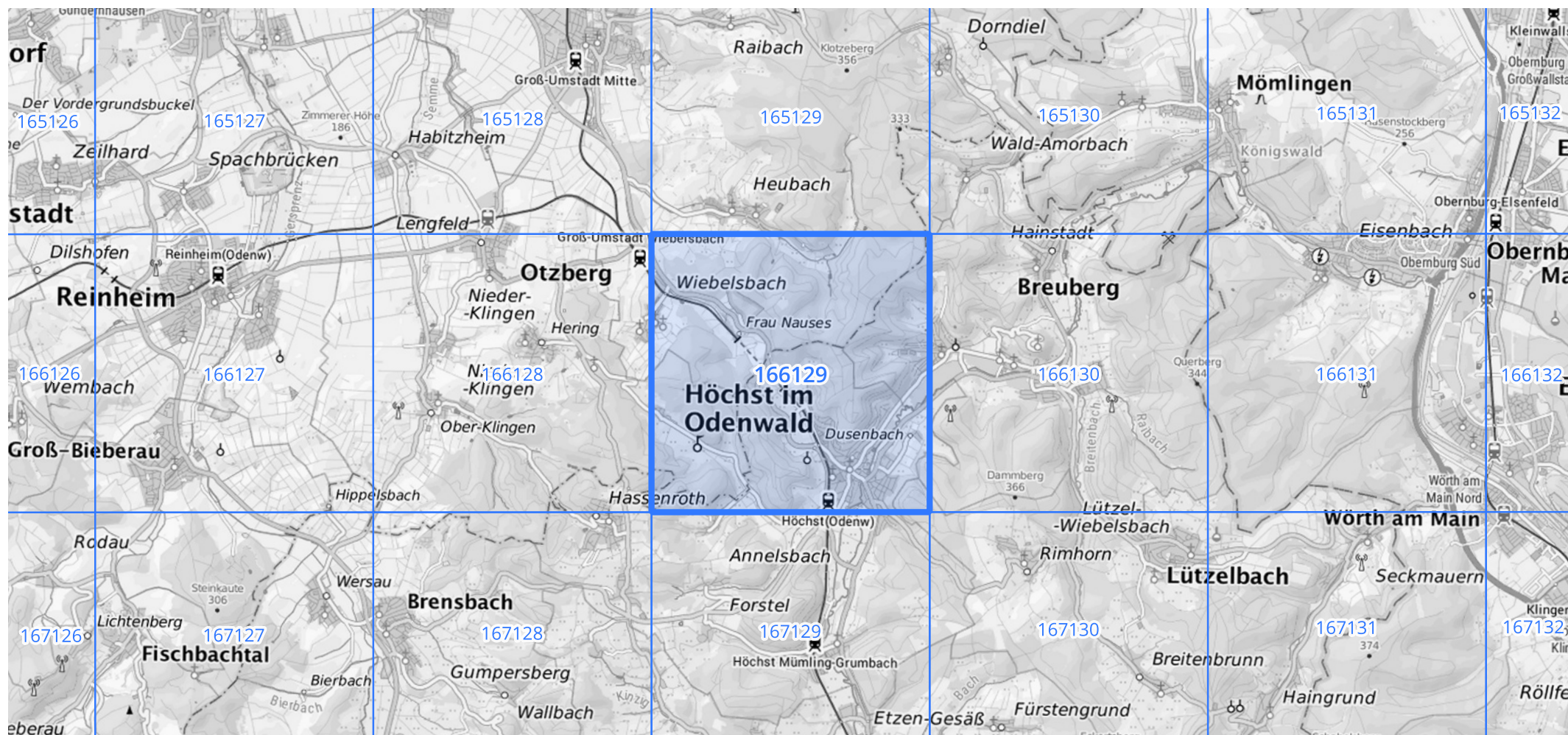
Siehe auch Anwendungshilfe zu KOSTRA-DWD-2020 des Deutschen Wetterdienstes.

Starkniederschlagshöhen und -spenden gemäß KOSTRA-DWD-2020

Rasterfeld 166129

(Zeile 166, Spalte 129)

Übersichtskarte des Rasterfeldes 166129, M 1 : 100 000



Quelle Rasterdaten: KOSTRA-DWD-2020 des Deutschen Wetterdienstes, Stand 12/2022.

Seite 3 von 3

Kartendarstellung: © Bundesamt für Kartographie und Geodäsie (2023), Datenquellen: https://sgx.geodatenzentrum.de/web_public/gdz/datenquellen/Datenquellen_TopPlusOpen.html

Für die Richtigkeit und Aktualität der Angaben wird keine Gewähr übernommen. Erstellt 01/2023.